

Ni-N

V 1321

1951

$\text{CdSO}_4 \cdot 8/3\text{H}_2\text{O}$ ,  $\text{NiSO}_4 \cdot 7\text{H}_2\text{O}$ ,  $\text{NiSO}_4(\text{NH}_4)_2\text{SO}_4 \cdot 6\text{H}_2\text{O}$ ,  
 $\text{CuSO}_4 \cdot 5\text{H}_2\text{O}$ ,  $\text{CuSO}_4(\text{NH}_3)_4 \cdot \text{H}_2\text{O}$ ;  $\text{CaSO}_4 \cdot 2\text{H}_2\text{O}$ ;  
 $\text{KAl}(\text{SO}_4)_2 \cdot 12\text{H}_2\text{O}$ ,  $\text{KNaC}_4\text{H}_4\text{O}_6 \cdot 4\text{H}_2\text{O}$  (We.)

Matsumara O.

Met. Faculty Sci. Kynsyu Univ. 1951, 1B, 1-3  
Infrared absorption bands of water of crystallization.

Chem. Abstr. 1952, 46, N10  
4365i

J.

ВР - V - 1064

1960

$Mn(N_2H_4)_2Cl_2, Fe(N_2H_4)_2Cl_2, Co(N_2H_4)_2Cl_2,$   
 $Ni(N_2H_4)_2Cl_2; Cu(N_2H_4)_2Cl_2; Zn(N_2H_4)_2Cl_2$  (Vi)

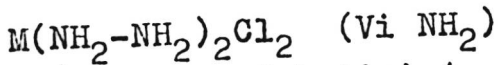
Sacconi L., Sabatini A.

Nature, 1960, 186, N 4724, 549

Ряд Ирвинга-Вильямса в расположении  
металлов по частотам металл-трианд в  
некоторых комплексах с гидразинном

РХ., 1960, N 22, 87453

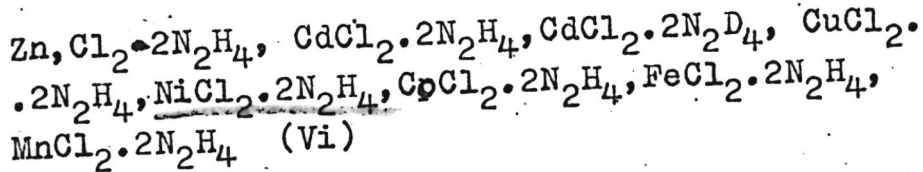
J



Sacconi L., Sabatini A.

Inorg. and Nucl. chem., 1963, 25, N 11, 1389-93

The infra-red spectra of metal (II) -hydrazine complexes.



PJX, 1964, 165123

J.

50514.1513

Ch, Ph

$[Ni(H_2O)_6]SO_4 \cdot Ni(CH_3)_6Cl_2$   
(D)

1964  
VI 3958

Ancarani Rossiello Laura. Spettri di luminescenza di complessi del nichel. "Ricerca scient.", 1964, Parte 2, Sez. A, 6, N 2, 437-442

(итал.; рез. франц., англ., нем.)

ЕСТЬ ОРИГИНАЛ

Рех, 1966, 3584

Ю

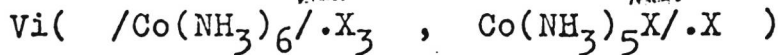
ВИНИТИ 788

A-677

1964



M=Mn, Fe, Co, Ni, Zn, Cd, X=Cl, Br, I)

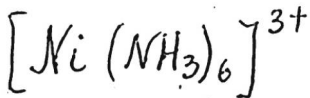


Sacconi L, Sabatini A., Gans P.

Inorgan. Chem, 1964, 3, N12, 1772-74.

Infrared spectra from 80 to 2000  $cm^{-1}$   
of some metal-ammine complexes.

RX., 1965, 186159 J



A-679 | 1964

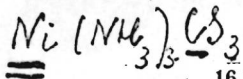
Terrasse J.M; Poulet H.

Mathies J.P.

(v.i.c.n)

"Spectrochim acta"

1964, 20, N3, 305-315



1985

16 Б213. Изучение неорганических соединений при помощи колебательных спектров. IX. Инфракрасные спектры  $Ni(NH_3)_3CS_3$  и  $Zn(NH_3)_2CS_3$ . Krebs Bernt, Müller Achim. Schwingungsspektroskopische Untersuchungen anorganischer Festkörper. IX. Infrarotspektren von  $Ni(NH_3)_3CS_3$  und  $Zn(NH_3)_2CS_3$ . «Z. Naturforsch.», 1965, 20a, № 12, 1664—1667 (нем.; рез. англ.)

Табулированы частоты ИК-спектров поглощения ( $4000—300\text{ см}^{-1}$ ) кристаллич. образцов  $Ni(NH_3)_3CS_3$ ,  $Ni(ND_3)_3CS_3$ ,  $Zn(NH_3)_2CS_3$  и  $Zn(ND_3)_2CS_3$ . Предложено отнесение полос поглощения и обсуждено положение частот по сравнению со спектрами нек-рых других комплексов амина и несвязанных комплексно тиокарбонатов. Сообщ. VIII см. РЖХим, 1966, 9Б143. Резюме

+1

X. 1987. 16



Vi, m-~~bruse~~ *upilpaucaug*

V1-4028 1965

$(/Ni(NH_3)_6/X_2,$  X=Cl-, Br-, I-, ClO<sub>2</sub>-, BrO<sub>3</sub>-,  
ClO<sub>4</sub>-, NO<sub>3</sub>-, SO<sub>4</sub><sup>2-</sup>, S<sub>2</sub>O<sub>8</sub><sup>2-</sup>, C<sub>2</sub>O<sub>4</sub><sup>2-</sup>,  
MoO<sub>4</sub><sup>2-</sup>, WO<sub>4</sub><sup>2-</sup>, SCN-)

Viltange M.

Mikrochim. acta, 1965, N4, 609-20.

Stude des metallohexamines. II Etude par  
thermogravimetric et spectrogr. d'absorption  
infra-rouge des nickelo-hexamines.

RX., 1966, 13 174 J, Be

$Ni(NH_3)_6 X_2$  Bq - 4028 - VI 1965

$X = Cl^-, Br^-, I^-$  Viltange M.

$ClO_2^-, BrO_3^-, ClO_4^-$  Microchim Acta

$NO_3^-, SO_4^{2-}, S_2O_8^{2-}$  1965, N4, 609-20.

$C_2O_4^{2-}, MoO_4^{2-}$

$WO_4^{2-}, SCN^-(J_1)$

A 673

1966

Vi ( $\text{MX}_2 \cdot 2\text{NH}_3$ ), *vge* M=Fe, Co, Ni, Cu, Zn, Cd, Hg, Pd,  
Pt; X=Cl, Br, I.

$\text{M}'(\text{SCN})_2 \cdot 2\text{NH}_3$ , *vge* M'=Pd ili Pt)

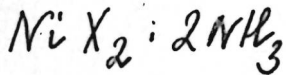
Clark R.J.H., Williams C.S.

J.Chem. Soc., 1966, AN 10, 1425-30

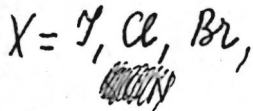
Infrared and electronic spectrae study of me-  
tal-ammonia complexes.

PJX, 1967, 105204  
J.

(Cu. Pt.....) 115



Clark R. F. H. 1966  
Williams C.S. A-673



J. Chem. Soc., A, n 10,  
1425.

ИК и элементарные  
спектры аллюмо-кобальт-  
соединений ● метасоев.  
(Сое. Рт ... ) III

$Ni(NO_3)_2$

1968  
20 Б231. Изучение тетрагидрата нитрата никеля методом ИК-спектрометрии. Gallezot P., Mathieu M. V., Weigel D., ImeTik B. Etude du nitrate de nickel tetrahydrate par spectrometrie infrarouge. «Bull. Soc. chim. France», 1968, № 3, 882—885. (франц.; рез. англ.)

Изучение ИК-спектра тетрагидрата  $Ni(NO_3)_2$  подтверждает результаты структурного анализа этого соединения. Отсутствие оси симметрии 3-го порядка иона нитрата объяснено существованием частично ковалентной связи между нитрат-ионами и атомом Ni, с которым они образуют координационную связь. Интерпретация наблюдаемых полос в ИК-спектре подтверждает эту гипотезу. Помимо этого, частоты вал. кол. молекул воды удовлетворительно совпадают с расчетными частотами, найденными для восьми расстояний O—H...O, определенных рентгенографич. методом. Резюме

VI-5416 -

г. 1968. 20



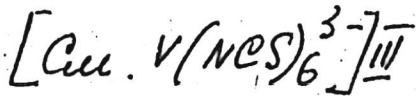
Clark R. Y. H.;  
Goodwin A. D. J.

1970

Di,

сил. пост.

Spectrochim. Acta,  
Part A, 1970, 26, n2,  
323.



$Ni(NO_3)_2$

1968

11 Д314. Исследование тетрагидрата нитрата никеля с помощью ИК-спектроскопии. Gallezot P., Mathieu M. V., Weigel D., Imelik B. Etude du nitrate de nickel tétrahydraté par spectrométrie infrarouge. «Bull. Soc. chim. France», 1968, № 3, 882—885 (франц.; рез. англ.)

Исследован ИК-спектр поглощения ( $10\,000-400\text{ см}^{-1}$ ) тетрагидрата нитрата никеля. Подтверждены результаты, полученные с помощью структурного анализа. Обнаружено, что связи никель — нитрата в значительной степени ковалентны. Исследование вал. кол. воды, входящей в состав комплекса, показало наличие водородных связей. Положение полос поглощения вал. кол. воды соответствует частотам, вычисленным на основании восьми значений длин водородных связей, определенных рентгенографически. Библ. 11. А. Белозеров

09. 1968 . 110

Фшц 829

1973

 $Ni(N_2)_n$ 

6 Д369. Комплексы переходных металлов с молекулярным азотом. I. Спектры комбинационного рассеяния, ИК-спектры, структура и связь в  $Ni(N_2)_n$  и  $Pd(N_2)_m$  ( $n=1-4$ ,  $m=1-3$ ), изолированных в матрицах. Huber H., Kündig E. P., Moskovits M., Ozin G. A.

Binary transition metal dinitrogen complexes. I. Matrix infrared and Raman spectra, structure, and bonding of  $Ni(N_2)_n$  and  $Pd(N_2)_m$  ( $n=1-4$  and  $m=1-3$ ). «J. Amer. Chem. Soc.», 1973, 95, № 2, 332-344 (англ.)

Получены ИК-спектры поглощения и спектры комб. рас. продуктов реакций, происходящих при одновременной конденсации Ni или Pd и  $N_2$  (или смеси  $N_2:Ar$ ) на подложку при 4,2-10°K. Анализ спектров в области вал. кол. азота показывает, что в системах  $Ni(Pd):N_2:Ar$  существуют соединения  $Ni(N_2)_n$  ( $n=1-4$ ) и  $Pd(N_2)_m$  ( $m=1-3$ ). Проведено отнесение наблюдаемых частот и

 $Ni; c.n$ 

Ф. 1973. № 6

① ⊠

показано, что наиболее стабильными комплексами являются  $\text{Ni}(\text{N}_2)_4$  с симметрией  $T_d$  и  $\text{Pd}(\text{N}_2)_3$  с симметрией  $D_{3h}$ . В системах  $\text{Ni}(\text{Pd}) : \text{N}_2$  существуют только комплексы  $\text{Ni}(\text{N}_2)_4$  и  $\text{Pd}(\text{N}_2)_3$ , однако их симметрия понижена до  $C_2$ . В спектре  $\text{Ni}(\text{N}_2)_4$  в Аг обнаружены полосы, соответствующие вал. кол.  $\text{Ni}-\text{N}_2$ : 303 и 283  $\text{см}^{-1}$  в рассеянии и 283  $\text{см}^{-1}$  в поглощении, что согласуется с симметрией молекулы  $T_d$ . Рассчитаны силовые постоянные и интенсивности ИК-спектра всех исследуемых молекул с различным изотопным составом. Библ. 22.

Ю. М. Л.

1973

NiN<sub>2</sub>

117251j Matrix infrared spectroscopic evidence for end-on bonded dinitrogen in nickel monodinitrogen, NiN<sub>2</sub>, and its relation to dinitrogen chemisorbed on nickel. Moskovits, M.; Ozin, G. A. (Erindale Coll., Univ. Toronto, Toronto, Ont.). *J. Chem. Phys.* 1973, 58(3), 1251-2 (Eng). The matrix (Ar)

far-ir spectra of the product of cocondensation of Ni atoms with <sup>14</sup>N<sub>2</sub>, <sup>14</sup>N<sup>15</sup>N, and <sup>15</sup>N<sub>2</sub> indicated that only 1 N<sub>2</sub> mol. was bonded to 1 Ni atom in an end-on fashion. The force consts.,  $f_{N-N}$  2.38,  $f_{NN}$  17.66, and  $f_{N,N,NN}$  (stretch-stretch interaction) 0.26 mdyne/Å which are compatible with a modified valence force field approxn. were derived by assuming a linear triat. mol. The obsd. frequencies were 2020.6, 2053.6, 2057.4, and 2089.9 cm<sup>-1</sup> for Ni<sup>15</sup>N<sub>2</sub>, Ni<sup>14</sup>N<sup>15</sup>N, Ni<sup>15</sup>N<sup>14</sup>N, and Ni<sup>14</sup>N<sub>2</sub>, resp. Results are compared with literature data for N<sub>2</sub> adsorbed on Ni.

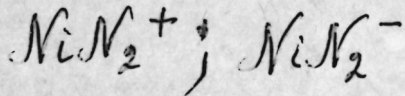
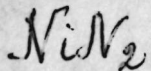
Ni; chem. info.

и.к. спект

в манускрипте

C.A. 1973. 78 v 18

1973



Vinogradova, S.M. Borodko Yu.G.  
Zh. Fiz. Khim. 1973, 47(4), 789-93.

Id. copy  
part

(see  $\text{TiN}_2$ ; III)

1974

$NiN_2$

$Ni(N_2)_2$

структ.,

кв. мех.

расчет.

Братушко Ю. И.,  
и др.

Приз. мат. методов  
коорг. хим. тезисы  
докл. Всесоюзн. Совещ.  
5, 1974, Труд. 1974,

58-9.

Рем.  $NiO_2$ ; III)

40329.4575

Ph, Te, Ch

31603 02  
[Ni(NH<sub>3</sub>)<sub>6</sub>]<sup>2+</sup>

1974

1966

Müller A., Schmidt K.H., Vandrish G.

Vibrational spectra and pseudo-exact

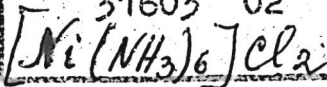
force constants of [Ni(NH<sub>3</sub>)<sub>6</sub>]<sup>2+</sup>, [Zn(NH<sub>3</sub>)<sub>4</sub>]<sup>2+</sup>, and [Zn(CN)<sub>4</sub>]<sup>2-</sup> with <sup>58</sup>Ni/<sup>62</sup>Ni, <sup>64</sup>Zn/<sup>68</sup>Zn and H/D isotopic subs-titution. "Spectrochim. acta", 1974, A30,  
N 3, 651-663 (АНХЛ.)

060 061 067 0074 ВИНИТИ

40329.4575

Ph, Te, Ch

31603 02



1974.

1966

Müller A., Schmidt K.H., Vandrish G.

Vibrational spectra and pseudo-exact

force constants of  $[\text{Ni}(\text{NH}_3)_6]^{2+}$ ,  $[\text{Zn}$ 
 $(\text{NH}_3)_4]^{2+}$ , and  $[\text{Zn}(\text{CN})_4]^{2-}$  with  $^{58}\text{Ni}$ 
 $^{62}\text{Ni}$ ,  $^{64}\text{Zn}/^{68}\text{Zn}$  and H/D isotopic subs-

stitution. "Spectrochim. acta", 1974, A30,

N 3, 651-663

(англ.)

060 061

067

0074

ВНИИТИ

Ni(N<sub>2</sub>)<sub>4</sub>

Jansen H. B.

1974

Kb. Mex.  
papier

Chem. and Biochem.  
Reactiv Proc. Int. Symp,  
Jerusalem, 1973, Jerusalem,  
1974, 199-205

Call BF ; III)

$NiF_2NO$

1974

И.К. структура.

поиск новизны.  
ИИ.

Van Leirsburg D.A.  
"J. Phys. Chem." 1974,  
78, (2), 134-142

(см  $NiF_2CO$ ; III)

1974

$NiCl_2 \cdot NO_2$

И.К. спектр  
полосы поглощения.

Van Leirsburg D.A.  
"J. Phys. Chem." 1974,  
78, (2), 134-142

● (ал.  $NiF_2CO$ ; III)

1974

$NiCl_2 \cdot N_2$

и.к. спектр

полосы поглощ.  
и.к.

Van Leirsburg D.A.  
"J. Phys. Chem." 1974,  
78, (2), 134-142

● (all  $NiF_2CO$ ; III)

$NiF_2 \cdot N_2$

1974

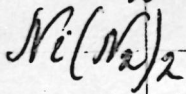
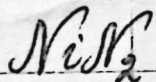
И.К. спектр  
полем пово-  
звения.

Van Leirsburg D.A.  
"J. Phys. Chem." 1974,  
78, (2), I34-I42

(all  $NiF_2CO$ ; III)

го кислорода у атома металла в комплексах  $MO_2$  и  $M(O_2)_2$  расширенным методом Хюккеля. Братушко Ю. И. «Теор. и эксперим. химия», 1975, 11, № 4, 461—469

Рассчитаны энергетич. характеристики и электронная структура координационных соединений никеля, кобальта и железа с молекулярным кислородом. Для сравнения проведен расчет соединений  $NiN_2$  и  $Ni(N_2)_2$ . Для молекул  $MO_2$  и  $NiN_2$  рассчитаны конфигурации: перпендикулярная ( $C_{2v}$ ), линейная ( $C_{\infty v}$ ) и ряд промежуточных ( $C_s$ ). Для координационных соединений  $M(O_2)_2$  и  $Ni(N_2)_2$  проведен расчет конфигураций — перпендикулярной плоской ( $D_{2h}$ ), линейной ( $D_{\infty h}$ ) и промежуточных ( $C_{2h}$ ). В случае  $Ni(O_2)_2$  рассчитаны также перпендикулярная неплоская ( $D_{2d}$ ) и ряд угловых конфигураций симметрии  $C_2$ . Для  $M(O_2)_2$  энергетически наиболее выгодной оказалась перпендикулярная конфигурация  $D_{2h}$ , а для  $Ni(N_2)_2$  — угловая  $C_2$  ( $\angle Ni-N-N \approx 120^\circ$ ). Установлено, что у комплексов  $NiO_2$  и  $NiN_2$  миним. энергия, характеризует угловые конфигурации  $C_s$ , но  $\angle Ni-O-O$  ( $\sim 105^\circ$ ) меньше, чем  $\angle Ni-N-N$  ( $\sim 120^\circ$ ). Расчет подтверждает, что для молекулярного кислорода предпочтительна близкая к «перпендикулярной» конфигурация, а для молекулярного азота — близкая к линейной. Библ. 21. Резюме



расчет геометр.

Ф 1976 N2

1975



$MO_2$   
 $M=Ni$   
 $Co, Fe$

(+3)

50624.1814

DB, TC, Ch

*Ni(N<sub>2</sub>)<sub>n</sub>*

48771

*n = 1-4*

1975

\*4-9295

Klotzbücher W., Ozin G.A. Binary transition metal dinitrogen complexes. III. Metal-nitrogen stretching modes of Ni(N<sub>2</sub>)<sub>n</sub>, Pd(N<sub>2</sub>)<sub>m</sub>, and Pt(N<sub>2</sub>)<sub>m</sub> (where n=1-4 and m = 1-3).

"J. Amer. Chem. Soc.", 1975, 97, N 10, 2672-2675

8390

0 3 0 2

ВИНИТИ

365 367

1975

7 Б26. Природа активации молекулярного азота в комплексах. Захаров И. И., Авдеев В. И., Болдырев А. И. «Докл. АН СССР», 1975, 225, № 1, 126—129

На примере рассмотрения электронного строения бинарных комплексов  $NiN_2$  и  $CoN_2$  методом ССП МО ЛКАО в приближении ПДП показана возможность стабилизации ряда электронных состояний, характеризующихся различной активацией связи  $N \equiv N$ . Активная форма молек. азота соответствует состоянию комплекса, в котором промотирование электронов на  $4p$   $\pi$ -орбиталь металла способствует преобладанию  $\pi$ -акцепторных св-в азота и переносу электронной плотности на  $\pi_g^*$ -орбиталь  $N_2$ . На основе анализа эксперим. и расчетных данных высказано предположение, что большинство синтезированных нитрогенильных (моноядерных) комплексов имеют электронное строение, для которого характерна неактивная форма азота. Автореферат

$NiN_2$   
 $CoN_2$

Электр.  
Стр.

(+1)

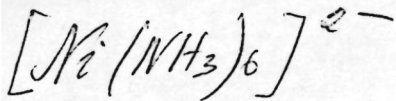
X1976 N7

$[Ni(NH_3)_6]^{2+}$  (X-68-13535) 1976

55:26869v Molecular vibrations of complexes with trigonal ligands. VII: Hexaammines with an octahedral skeleton, application to hexaamminenickel(2+). Cyvin, B. N.; Cyvin, S. J.; Schmidt, K. H.; Mueller, A.; Brunvoll, J. (Inst. Chem., Univ. Dortmund, Dortmund-Hombruch, Ger.). *J. Mol. Struct.* 1976, 32(2), 269-78 (Eng). A vibrational anal. is performed for  $[Ni(NH_3)_6]^{2+}$ , which has an octahedral framework structure. The  $D_{3d}$  structure was assumed for the whole complex. Symmetry coordinates are given for all the vibrational modes, which are classified as (a) ligand vibrations, (b) ligand-framework couplings, and (c) framework vibrations. The correlations with the framework  $O_h$  and ligand  $C_{3v}$  symmetries are worked out. An approx. force field based on the ligand-framework correlated coordinates is developed. It reproduces satisfactorily the obsd. frequencies for 4 isotopic ions of  $[Ni(NH_3)_6]^{2+}$ . Approx. calcs. for the point-mass model ( $XY_6$ ) are compared with those of the whole complex. The validity of the point-mass model approx. is confirmed.

$J_2$   $u.d. no.$

C. A. 1976. 85 N4.



X4-17643

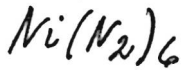
1976

Sanyal N.K; et al.

curr. no. 1.

J. Phys., 1976, 50 N7

-659-67



Busby R. et al

1977

"Inorg. Chem.", 1977,  
16, N4, 822-828.

U. K. Feekrup.  
спектр.



(см.  $\text{Ti}(\text{CO})_6$ ) III

$Ni_2(SN)_4$

1978

89: 137720s Vibrational analysis of tetrasulfur tetranitride nickel(II). Rao, P. Bhaskara; Ramaswamy, A.; Agarwala, U. (Dep. Chem., Indian Inst. Technol., Kanpur, India). *Natl. Acad. Sci. Lett. (India)* 1978, 1(5), 169-70 (Eng). The normal coordinate anal. of tetrasulfur tetranitride Ni(II) was carried out using Uray Bradley force field and its vibrational bands were assigned.

Calc met.

Ji

C.A., 1978, 89, N16

1978

NiN<sub>2</sub>CoN<sub>2</sub>FeN<sub>2</sub>

NiCO

rev. corr.  
p. 222(13) 

89: 153065n The interaction of the ligands dinitrogen and carbonyl with transition metals. Veillard, Helene (Univ. Louis-Pasteur, Strasbourg, Fr.). *Nouv. J. Chim.* 1978, 2(3), 215-24 (Eng). The total energies of several electronic states for the mols. NiN<sub>2</sub>, CoN<sub>2</sub>, FeN<sub>2</sub>, NiCO, and TiCp<sub>2</sub>N<sub>2</sub> (Cp = cyclopentadienyl ligand) were obtained in ab-initio LCAO-MO-SCF calcs. The bonding between the metal atom and the N<sub>2</sub> and CO ligands is discussed on the basis of the calcs. The ground states of NiN<sub>2</sub>, CoN<sub>2</sub>, and FeN<sub>2</sub>, were assigned as triplet, quartet, and quintet states, resp. The sequence of electronic states of these mols. is detd. mainly by the  $\sigma$ -acceptor and  $\pi$ -donor characters at the metal level. The ground state of the hypothetical TiCp<sub>2</sub>N<sub>2</sub> mol. corresponds to the configuration (21 a<sub>1</sub>)<sup>2</sup>(14 b<sub>1</sub>)<sup>2</sup>(7 a<sub>2</sub>)<sup>2</sup>(11 b<sub>2</sub>)<sup>2</sup>. Hybridization effects at both the metal and ligand levels are important in the N<sub>2</sub> bonding. Neither side-on nor perpendicular coordination of the N<sub>2</sub> ligand appear energetically favorable. The isocarbonyl coordination metal-OC also appears energetically unfavorable.

C.A., 1978, 29 N 18

Summa 8957

1979

NiNO

92: 99765n A theoretical investigation of the ground and core-hole states of linear and bent NiNO: a prototype for nitric oxide adsorbed on nickel. Clark, D. T.; Cromarty, B. J.; Scamellotti, A. (Dep. Chem., Univ. Durham, Durham, Engl. DH1 3LE). *Chem. Phys. Lett.* 1979, 68(2-3), 420-5 (Eng). Nonempirical LCAO MO SCF calcns. within the Hartree-Fock formalism were performed on linear and bent configurations of NiNO ( $^2\text{I}$ ) for the state arising from the Ni  $3d^{10}$  configuration. Binding and relaxation energies are computed for the Ni atom, the free ligand (NO) and the prototype system NiNO. Comparison with available exptl. data reveals overall agreement for the shifts in core binding energies for the bent NiNO systems. The main contribution to these shifts is due to relaxation effects, which may be rationalized by ref. to at. population and bond overlap changes accompanying core ionization.

kb. see.  
pascem

C.A. 1980, 22, 112

NiNO

вмтсссн 8957

1979

4 Д198. Теоретическое исследование основного и дырочных остовных состояний линейной и изогнутой NiNO: прототипа NO, адсорбированного на никеле. A theoretical investigation of the ground and core-hole states of linear and bent NiNO. A prototype for NO adsorbed on nickel. Clark D. T., Cromarty B. J., Sgamellotti A. «Chem. Phys. Lett.», 1979, 68, № 2—3, 420—425 (англ.)

Неэмпирич. методом ССП в базисе ОСТ-6-33ГФ с включением поляризационных ф-ций (4d, 5s на Ni; 3d, на N и O) рассчитаны полные энергии основного электронного состояния молекулы NiNO и дырочных состояний соответствующего положит. иона, возникающих при удалении электрона с остовных МО. Расчет...

расчет  
полных  
энергий  
ост. сост.

Ф.Р.920 N4

ведены как для линейной, так и для двух изогнутых ( $17^\circ$ ,  $34^\circ$ ) геометрич. структур NiNO при фиксированных межъядерных расстояниях. Определены энергии связи, энергии релаксации и орбитальные сдвиги, связанные с ионизацией типа  $Ni_{1s}$ ,  $Ni_{2s}$  и  $O_{1s}$  в NO, Ni и NiNO. Проведенный анализ заселенностей указывает, что образование дырочных состояний NiNO связано со значительным переносом электронного заряда с атома никеля, за счет чего наблюдаются достаточно большие энергетич. сдвиги внутренних одноэлектронных уровней.

А. Дементьев

Оттиски 8957

1979

NiNO

10 Б31. Теоретическое исследование основного и осовно-ионизированных состояний линейной и изогнутой молекул NiNO, прототипов комплекса из NO, адсорбированного на Ni. Clark D. T., Cromarty B. J. Sgamellotti A. A theoretical investigation of the ground and core-hole states of linear and bent NiNO: a prototype for NO adsorbed on nickel. «Chem. Phys. Lett.», 1979, 68, № 2—3, 420—425 (англ.)

Неэмпирическим методом ССП МО проведены расчеты молекулы NiNO для линейной и изогнутой ( $17,34^\circ$ ) геометрий. Использован базис OCT 6-33 ГФ с включением поляризац. функций. Для осовных АО использованы лучшие атомные одноэкспонентные функции Клементи—Раймонди, аппроксимированные 6 ГФ, для валентных использованы двухэкспонентные функции, каждая из к-рых аппроксимирована 3 ГФ. Поляризац. функции ( $4d, 5s$  для Ni и  $3d$  для N и O) представлены каждая разложением по 3 ГФ. Расстояния Ni—N и N—O приняты соотв. 3,477 и 2,173 ат. ед. Расчеты сво-

кв. мех.  
расчет

2-1980.1110

одной молекулы NO проведены при эксперим. расстоянии  $\approx (2,173)$ . Расчеты проведены как для основного  $^2\Pi$  (отвечающего конфигурации  $3d^{10}Ni$ ) и для остовных дырочных состояний. Энергии ионизации оценены как разность полных энергий молекулы и иона, а также для сравнения, по «теореме Купманса», т. е. в приближении замороженного остова. Энергия связи по отношению к конфигурации  $3d^{10}$  изолированного Ni найдена равной  $-36,2$ ,  $-36,5$  и  $-36,4$  ккал/моль для линейной структуры, угла в  $17$  и  $34^\circ$  соотв. Сделан вывод, что без учета корреляц. эффектов нельзя давать определенных структурных предсказаний, поскольку разности энергий очень малы. Рассчитанные энергии связи остовных электронов свободных Ni и NO, а также NiNO сопоставлены с эксперим. данными и найдено, что в целом рассчитанные сдвиги лучше согласуются с экспериментом в случае изогнутой формы. Проанализирована природа релаксац. эффектов, к-рые сопоставлены с рассчитанными изменениями заселенностей электронных атомов и связей, обусловленными ионизацией.

А. Багатурьянц

1979

$Ni(NH_3)_6Cl_2$

20 Б658. Протонный [магнитный] резонанс и структура хлорида гексааммиаката никеля. Svare I., Skjæveland S. M. Proton resonance and structure of nickel hexamine chloride. «J. Magn. Reson.», 1979, 34, № 1, 97—102. (англ.)

Спектр ПМР.

Изучены спектры ПМР (17,75 Мгц) монокрист. образца  $Ni(NH_3)_6Cl_2$  при параллельной ориентации оси [100] внешнему полю  $H_0$  при т-рах 1,4—20° К. Найдено, что магнитный момент иона  $Ni^{2+}$  расщепляет резонансную линию на 2 основные компоненты с относит. интенсивностями 1:2. Менее интенсивная линия в слабом поле отнесена к протонам  $NH_3$ -групп, для к-рых  $H_0$

1-  
оль

2. 1979, 120

совпадает с направлением связи Ni—N, а более интенсивная линия (в сильном поле) обусловлена четырьмя NH<sub>3</sub>-группами, для которых H<sub>0</sub> перпендикулярно связям Ni—N. Низкопольная линия проявляет мультиплетную структуру 1:2:1, обусловленную дипольным взаимодействием H—H в пределах NH<sub>3</sub>-групп с величиной расщепления  $\Delta H = 8,5 \pm 0,5$  гс, что отвечает расстоянию H—H =  $1,70 \pm 0,03$  А. Наличие расщепления свидетельствует о том, что при t-рах ниже t-ры структурного фазового перехода T<sub>c</sub> = 80° К решетка изменяется слабо. Отсутствие ТС для высокопольной линии связано с отсутствием вращения NH<sub>3</sub>-групп, расположенных перпендикулярно к H<sub>0</sub>. При понижении t-ры до 1,6° К интенсивность линий уменьшается и при t-ре Нееля T<sub>N</sub> = 1,47° К линии не наблюдаются. Из зависимости  $(\Delta H)^{-1}$  от t-ры определена t-ра Кюри—Вейсса, Q =  $-9,6 \pm 1$ ° К. Отмечено, что значения T<sub>N</sub> и Q хорошо согласуются с полученными из измерений теплоемкости и магнитной восприимчивости. С учетом основного расщепления  $\Delta H = 60 \pm 3$  гс (при 4,2° К) расстояние Ni—H оценено в  $2,80 \pm 0,05$  А.

С. П. П.

Ni № 2

Lemmer 10002

1980

Bagus P.S., et al

дискр.  
спектр.

J. Electron. Spect.

Relat. Phenom., 1980,  
20, 253-258.

$[\text{Ni}(\text{NH}_3)_6]^{2+}$  [Osmium 10360] 1980

Rai M., et al.

Nb. mex.  
Facts,  
Steele  
Chiz

Int. J. Quant. Chem.  
1980, 18, 403-408

Ni-NH<sub>3</sub>

Оттиски 11547

1981.

равновесн.  
растворн.

Stoh N., et al.

ди. смеси.

Z. Naturforsch.,

кв. мех.  
раскв.  
взаимноз.

1981, A36, 347-53.

металл-лиганд.



(см. Cr...H<sub>2</sub>O; III)

$Ni(S_2N_2H)_2$

Омиск 11473

1981

$Pd(S_2N_2H)_2$

18 Б56. Электронное строение соединений со связью N—S. Исследование методом ППДП тионитрозильных комплексов переходных металлов  $Ni(S_2N_2H)_2$  и  $Pd(S_2N_2H)_2$ . Millefiori S., Millefiori A., Granozzi G. Electronic structure of N—S compounds. A CNDO study of transition metal thionitrosyl complexes  $Ni(S_2N_2H)_2$  and  $Pd(S_2N_2H)_2$ . «Inorg. chim. acta», 1981, 48, № 2, 233—236 (англ.)

электр.  
строение

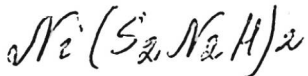
Методом ППДП с использованием эксперим. геометрии проведен расчет электронного строения плоских псевдоквадратных комплексов  $M(S_2N_2H)_2$  [ $M=Ni(I), Pd(II)$ ] с хелатными лигандами  $S_2N_2H$ . В согласии с экспериментом найдено, что структуры с цис-расположением связанных с металлом групп NH энергетически выгоднее (в случае I — на 73 ккал/моль, в случае II — на 62 ккал/моль) соотв-щих транс-структур. Показано, что вклад электростатич. взаимодействия в стабилизацию цис-структуры составляет всего около 13 ккал/моль, и основной вклад обусловлен различным ковалентным взаимодействием в цис- и транс-

(+) ⊗

Х 1981 N 18

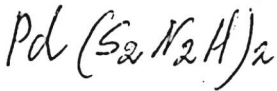
структурах. Приведены рассчитанные орбитальные энергии и атомные эффективные заряды  $Q_x$ . Отмечены значительные различия в величинах  $Q_x$  неэквивалентных атомов S и N и значительная полярность связей S—N. Рассчитанное распределение электронного заряда качественно согласуется с данными рентгеновских фотоэлектронных спектров.

О. Гриценко



Ommuck 11473

1981

KB, see,  
papers

94: 214907r Electronic structure of N-S compounds. A CNDO study of transition metal thionitrosyl complexes  $\text{Ni}(\text{S}_2\text{N}_2\text{H})_2$  and  $\text{Pd}(\text{S}_2\text{N}_2\text{H})_2$ . Millefiori, S.; Millefiori, A.; Granozzi, G. (Ist. Dip. Chim. Chim. Ind., Univ. Catania, 95125 Catania, Italy). *Inorg. Chim. Acta* 1981, 48(2), 233-6 (Eng). Conformational preferences, valence MO's and electronic charge distribution in thionitrosyl complexes  $\text{Ni}(\text{S}_2\text{N}_2\text{H})_2$  and  $\text{Pd}(\text{S}_2\text{N}_2\text{H})_2$  were studied by CNDO method. Both complexes are predicted to exist in the cis conformation, in agreement with the exptl. data. Valence MO energies and compns. show that covalent interactions between transition metal and ligand are important for the metal-ligand bonding. The population anal. gives evidence of inequiv. N and S atoms and of rather polar S-N bonds in the planar ring.

⊕ ⊗

C.A. 1981, 94 v26

$Ni(N_2)_4$

1982

д.с.т.п.,  
уровни  
энергии,  
теорет.  
расчет.

Wang Zhihong, Shen  
Erzhong, et al.

Fenxi Kexue Xuebao  
1982, 2 (2), 47-56.

( $\bullet$  ser.  $Ni(CO)_4; I$ )

Ni(O<sub>2</sub>)(N<sub>2</sub>)

1983

99:165990e Stable geometry and rotation of the dinitrogen ligand in a nickel complex, dinitrogendioxynickel. Hori, Kezi; Asai, Yoshihiro; Yamabe, Tokio (Fac. Eng., Kyoto Univ., Kyoto, Japan 606). *Inorg. Chem.* 1983, 22(22), 3218-20 (Eng). The stable geometry and the rotation of a N<sub>2</sub> ligand in Ni(O<sub>2</sub>)(N<sub>2</sub>) are described. Ab initio MO calcns. give reasonable results for the bonding between Ni and the dinitrogen ligand. However, it is necessary to include the correlation effect in order to express the bonding nature between Ni and the dioxygen ligand.

(ab initio)  
param

©.A.1983, 99, N20

$Ni(O_2)(N_2)$

1983

10 Б1066. Устойчивая геометрия и вращение молекулы азота — лиганда в комплексе никеля  $Ni(O_2)(N_2)$ . Stable geometry and rotation of the dinitrogen ligand in a nickel complex,  $Ni(O_2)(N_2)$ . Hori Kenzi, Asai Yoshihiro, Yamabe Tokio. «Inorg. Chem.», 1983, 22, № 22, 3218—3220 (англ.)

Методом ССП проведен расчет молекулы  $Ni(O_2)(N_2)$  в сгруппированном гауссовом базисе для Ni и в валентно-расщепленном базисе 3—21 ГФ для лигандов. При симметрии типа  $C_{2v}$  равновесной геометрич. конфигурации ядер отвечает расположение ядер кислорода и никеля в форме треугольника и линейному расположению ядра никеля и молекулы  $N_2$ . Оценены частоты нормальных колебаний комплекса и проанализирована структура переходных состояний для внутреннего вращения молекулы  $N_2$ . Указывается, что использованного приближения достаточно для описания хим. связи в комплексе между Ni и  $N_2$ , тогда как для описания связи Ni— $O_2$  необходимо привлечение данных о величине корреляц. эффектов.

В. И. Пупышев

расчет И.А.

х. 1984, 19, N10

Ni-N<sub>2</sub>

1984

Татарин С.Б., Блеттерин  
Ю.А., и др.

расчёт  
геометр.,  
структ.

М. структур. железа,  
1984, 25, N1, 8-12.

(см. д/н - N<sub>2</sub>; III)

NiN<sub>2</sub>

1984

22 Б1047. Теоретическое исследование взаимодействия железа и никеля с азотом. A theoretical study of the interaction of iron and nickel with nitrogen. Siegbahn Per E. M., Blomberg Margareta R. A. «Chem. Phys.», 1984, 87, № 2, 189—201 (англ.)

Расчет электронного строения комплексов с молек. азотом NiN<sub>2</sub> (I), FeN<sub>2</sub> (II), а также нитридов NiN (III), FeN (IV), FeN<sup>+</sup> (V) проведен методом конфигурац. взаимодействия (КВ) в полном активном пространстве валентных орбиталей с послед. использованием полученной волновой ф-ции в схеме КВ с несколькими базисными ф-циями и учетом поправки Дэвидсона. Для расчета использован двухэкспонентный базис с поляризац. ф-циями. Геометрия всех систем оптимизирована, в случае I и II рассматривали симм. линейный и T-образный способы координации N<sub>2</sub>. В случае I для линейной структуры (основное состояние <sup>1</sup>Σ<sup>+</sup>) получена энергия диссоциации D<sub>e</sub> = 18 ккал/моль и межъядерные расстояния R(Ni—N) = 3,37 ат. ед., R(N—N) = 2,03 ат. ед.; для T-образной структуры (состояние <sup>1</sup>A<sub>1</sub>) D<sub>e</sub> = -8,5 ккал/моль, R(Ni—N) =

гометр.,  
структ., до

44

х. 1984, 19,  
N 2.2.

$= 2,17$  ат. ед.;  $R(\text{Ni—середина } \text{N}_2) = 3,42$  ат. ед. В случае II для линейной структуры (состояние  ${}^3\Sigma^-$ )  $D_e = 11$  ккал/моль,  $R(\text{Fe—N}) = 3,48$  ат. ед.,  $R(\text{N—N}) = 2,07$  ат. ед.; для T-образной структуры (состояние  ${}^3B_1$ )  $D_e = -22$  ккал/моль,  $R(\text{Fe—середина } \text{N}_2) = 3,50$  ат. ед.,  $R(\text{N—N}) = 2,26$  ат. ед. Во всех системах  $\text{N}_2$  является акцептором электронов, для T-образных структур дативный перенос электронного заряда больше, чем для линейных. В случае III (состояние  ${}^2\Pi$ )  $D_e = 31,6$  ккал/моль,  $R(\text{Ni—N}) = 3,43$  ат. ед.; в случае IV (состояние  ${}^2\Delta$ )  $D_e = 20,9$  ккал/моль,  $R(\text{Fe—N}) = 3,15$  ат. ед.; в случае V (состояние  ${}^1\Sigma^+$ )  $D_e = 23,0$  ккал/моль,  $R(\text{Fe—N}) = 2,82$  ат. ед. Взаимодействие  $\text{N}_2$  с одним атомом металла качественно отличается от взаимодействия с металлич. Пв: на Пв железа происходит диссоциация  $\text{N}_2$ , тогда как на Пв никеля диссоциация не идет. Обсуждены возможные причины отмеченного различия.

О. Гриценко

1985

NiN<sub>2</sub>

102: 212144z Ab initio cluster-model study of the electronic ground-state and photoemission properties of nickel nitride (NiN<sub>2</sub>) and nickel carbonyl (NiCO): models for chemisorption. Kao, C. M.; Messmer, R. P. (Dep. Phys., Univ. Pennsylvania, Philadelphia, PA 19104 USA). *Phys. Rev. B: Condens. Matter* 1985, 31(8), 4835-47 (Eng). The ground state of the linear NiN<sub>2</sub> cluster was found, from generalized valence-bond CI calcs., to be a  $1\Sigma^+$  state with a short Ni-N distance of 1.64 Å and a Ni-N<sub>2</sub> dissoen. energy of 0.8 eV. In this  $1\Sigma^+$  state near the calcd. equil. internuclear distance, the electronic wave function may be characterized as arising from a significant admixt. of the Ni 3d<sup>10</sup> configuration, and the bonding of the N<sub>2</sub> mol. to the Ni atom may be characterized as N<sub>2</sub>  $\sigma$  donation and Ni 3d $\pi$  backward donation. Low-lying excited states ( $3\Sigma^+$ ,  $3\Delta$ , and  $3\Pi$ ) arising from the Ni 3d<sup>9</sup>4s<sup>1</sup> configuration were also studied. Mulliken population analyses, dipole moments, and vibrational and photoemission properties were calcd. Parallel calcs. were also performed for the linear NiCO mol. The  $1\Sigma^+$  states of both NiN<sub>2</sub> and NiCO are good models for the chemisorption of N<sub>2</sub> and CO on a Ni surface, with regard to the downward shift of the mol. stretching frequency in the interacting systems, the photoemission satellite structure, and the orientation of the dipole moments (with a net electron transfer from Ni to N<sub>2</sub> or CO).

ab initio

расчет, модель

модель, 2 Ni-N

и  $\sigma$  (Ni-N<sub>2</sub>)

C.A. 1985, 102, N 24.

$H_3 N \dots NiX$

1986

( $X = H, F, Cl$ )

ab initio  
perim.

Sannigrahi A. B.,  
Kar Tapas, et al.

Proc. Indian Acad.  
Sci., Chem. Sci., 1986,  
96 (3-4), 253-62.

( $Cu \cdot (LiH)_2$ ; III)

NiN<sub>2</sub>

(Om. 28288)

1987

Dubs R.L., McKay V.,

re,

Chem. Phys. Lett.,

моорем.  
раарем

1987, 142, N 3-4,

237-240.

Nig N<sub>9</sub>

1987

Ubaetien I.V.,

Novikov D.G. et al

Известия. Fiz. K'lastrov, No-  
66-6a vosibirsk 1987, 155-60

From. Ref. Zh., Fiz. (A-Zh,  
1988, ● Abstr. No 3D159.

(see. Pof 19 ; II)

[Om. 31940]

1988



Ball D.W., Haeger R.H.  
et al.,

crkmp

High Temp. Sci., 1988,  
25, N2, 95-101.



1988

111:86274n A normal coordinate analysis of monomethylhydrazine and its bidentate nickel(II) chloride complex. Dowling, D. P.; Glass, W. K. (Dep. Chem., Univ. Coll., Dublin, Ire.). *Spectrochim. Acta, Part A* 1988, 44A(12), 1351-7 (Eng). A full normal coordinate anal. (NCA) was carried out on monomethylhydrazine and *N*-deuterated monomethylhydrazine. The  $C_{3v}$  symmetry of the Me group is lost; nevertheless the concept of specific Me group modes is still valuable. The N-N stretching mode is relatively pure enabling it to be used as a criteria of coordination. An NCA was also carried out for the bidentate nickel complex  $\text{NiCl}_2(\text{NH}_2\text{NHCH}_3)_2$ . Interesting effects were obsd. for the wagging and twisting modes of the  $\text{NH}_2$  group on coordination.

Clud. no cm,  
(Di)

C.A. 1989, 111, N10

Ni5N

[om. 29979]

1988

Panas I.; Schüle J., et al.;

meopem.  
paczem

J. Phys. Chem., 1988, 92,  
n 11, 3079-3086.

Do, ze

NiN

(DM · 29979)

1988

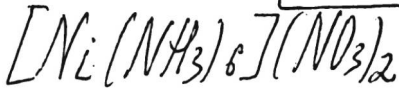
Panas I., Schüle J., et al.,

неопет.  
рачрем  
До, 2e

J. Phys. Chem., 1988, 92,  
N 11, 3079-3086.

[Dm. 31415]

1988



Trybula Z., Stankow-  
ski J.,

фазов.  
переход

Physica B 1988, 154,  
N1, 87-92.

$(\text{NO}_2)_2\text{NiF}_6$

От 31485

1989

№ 6 Л191. Синтез и колебательные спектры  $(\text{NO}_2)_2\text{-NiF}_6$  / Артиухов А. А., Красулин С. В., Климов В. Д., Набиев Ш. Ш., Толмачева Н. С. // Координац. химия. — 1989. — 15, № 3. — С. 397—399

Измерены колебательные (ИК и КР) спектры  $(\text{NO}_2)_2\text{NiF}_6$  и проведено отнесение наблюдаемых частот колебаний  $\text{NO}_2^+$ -катиона и  $\text{NiF}_6^{2-}$ -аниона. Автореферат

Синтез

и

колебат. спектры

ср. 1989, № 6

$NiN_2$

1989

12 Б1037. Химическая связь в соединениях с нулевой валентностью; сопоставление  $NiN_2$  и  $Ni(N_2)_4$  с  $NiCO$  и  $Ni(CO)_4$ . Bonding in zerovalent Ni compounds:  $NiN_2$  and  $Ni(N_2)_4$  compared with  $NiCO$  and  $Ni(CO)_4$  /

Bauschlicher Ch. W., Jr., Langhoff S. R., Barnes L. A. // Chem. Phys.— 1989.— 129, № 3.— С. 431—437.— Англ.

Методом ССП в расширенном базисе гауссовых ф-ций рассчитаны спектроскопич. постоянные  $NiN_2$  в состояниях  $^1\Sigma^+$ ,  $^3\Delta$ ,  $^3\Sigma^+$  и  $^3\Pi$ . Корреляц. эффекты учтены в рамках метода модифицированного функционала связанных электронных пар. Аналогичные расчеты проведены для состояния  $^2\Sigma^+$  ионов  $NiN_2^-$ ,  $NiCO^-$  и  $NiN_2^+$  и низколежащих  $^2\Delta$ - и  $^2\Pi$ -состояний  $NiN_2^+$ , а также  $^1A_1$ -состояний  $Ni(CO)_4$  и  $Ni(N_2)_4$ . Связь в системах  $Ni(N_2)_x$  найдена систематически более слабой, чем соотв. связь в системах  $Ni(CO)_x$ , что обусловлено меньшей способностью лигандов  $N_2$  к  $\pi$ -дативному

М.А.

Х. 1989, N 12.

$NiN_2$ ,  $NiN_2^+$ ,  $NiCO$

взаимодействию и большим отталкиванием лигандов, по сравнению с CO. Энергия диссоциации  $\text{Ni}(\text{N}_2)_4$  в состоянии  $^1\text{A}_1$  найдена  $\sim 45$  ккал/моль, что составляет 1/3 часть от энергии диссоциации  $\text{Ni}(\text{CO})_4$  в том же состоянии. Обнаружено, что анион  $\text{NiN}_2^-$ , в отличие от  $\text{NiCO}^-$ , нестабилен по отношению к распаду на  $\text{Ni}^-$  и  $\text{N}_2$ , что затрудняет исследование низколежащих состояний  $\text{NiN}_2$  методом ФЭС.

. И. А. Тополь



1989

$Ni(N_2)_4$  Bauschlicher Charles W.,  
Jr, Langhoff Stephen R. et al.

Chem. Phys. 1989. 129,  
N3. C. 431-437.

(Cell.  $NiN_2$ ; III)

NiN<sub>2</sub>

1989  
-) 6 Д112. Связи в соединениях с нулевой валентностью: NiN<sub>2</sub> и Ni(N<sub>2</sub>)<sub>4</sub> в сопоставлении с NiCO и Ni(CO)<sub>4</sub>. Bonding in zerovalent Ni compounds: NiN<sub>2</sub> and Ni(N<sub>2</sub>)<sub>4</sub> compared with NiCO and Ni(CO)<sub>4</sub> / Bauschlicher Charles W., Jr, Langhoff Stephen R., Barnes Leslie A. // Chem. Phys.— 1989.— 129, № 3.— С. 431—437.— Англ.

С использованием большого гауссова базиса проведены неэмпирич. расчеты состояний <sup>1</sup>Σ<sup>+</sup>, <sup>3</sup>Δ, <sup>3</sup>Σ<sup>+</sup> и <sup>3</sup>Π молекулы NiN<sub>2</sub>. Метод модифицированного функционала связанных пар использовался для учета эффектов электронной корреляции. Рассмотрены также состояния <sup>2</sup>Σ<sup>+</sup> ионов NiN<sub>2</sub><sup>-</sup>, NiCO<sup>-</sup> и NiN<sub>2</sub><sup>+</sup>, низколежащие состояния <sup>2</sup>Δ и <sup>2</sup>Π в NiN<sub>2</sub><sup>+</sup> и состояния <sup>1</sup>A<sub>1</sub> в Ni(CO)<sub>4</sub> и Ni(N<sub>2</sub>)<sub>4</sub>. Найдено, что связи в системах Ni(N<sub>2</sub>)<sub>x</sub> являются систематически более слабыми, чем в аналогичных системах Ni(CO)<sub>x</sub>, в основном вследствие того, что лиганды N<sub>2</sub> не являются такими хорошими акцепторами π-орбиталей, какими являются лиганды CO. В частности, в отличие от стабильной молекулы NiCO<sup>-</sup>, NiN<sub>2</sub><sup>-</sup> не связана относительно Ni<sup>-</sup> и N<sub>2</sub>. Получены значения энергии диссоциации связи металл—лиганд для различных состояний вышеуказанных молекул. Н. В. В.

л-11

ф. 1989, № 6

(11) X

NiN<sub>2</sub>

1989

/ 110: 219340j Bonding in zerovalent nickel compounds: (dini-  
trogen)nickel (NiN<sub>2</sub>) and tetrakis(dinitrogen)nickel (Ni(N<sub>2</sub>)<sub>4</sub>)  
compared with nickel monocarbonyl and nickel tetracarbonyl  
(Ni(CO)<sub>4</sub>). Bauschlicher, Charles W., Jr.; Langhoff, Stephen R.;  
Barnes, Leslie A. (Ames Res. Cent., NASA, Moffett Field, CA 94035  
USA). *Chem. Phys.* 1989, 129(3), 431-7 (Eng). Ab initio calcns.  
have been carried out on the <sup>1</sup>Σ<sup>+</sup>, <sup>3</sup>Δ, <sup>3</sup>Σ<sup>+</sup> and <sup>3</sup>Π states of NiN<sub>2</sub> using  
a large Gaussian basis set and an MCPF treatment of electron  
correlation. In addn., the authors have considered the <sup>2</sup>Σ<sup>+</sup> states of  
NiN<sub>2</sub><sup>-</sup>, NiCO<sup>-</sup> and NiN<sub>2</sub><sup>+</sup>, the lowlying <sup>2</sup>Δ and <sup>2</sup>Π states of NiN<sub>2</sub><sup>+</sup>,  
and the <sup>1</sup>A<sub>1</sub> states of Ni(CO)<sub>4</sub> (Ni(N<sub>2</sub>)<sub>4</sub>). The bonding in the Ni(N<sub>2</sub>)<sub>x</sub>  
systems is systematically weaker than in the comparable Ni(CO)<sub>x</sub>  
systems, primarily because the N<sub>2</sub> ligands do not accept π back-donation  
kcal/mol of NiN<sub>2</sub> is about half that obtained for NiCO. The <sup>2</sup>Σ<sup>+</sup>  
state of NiN<sub>2</sub><sup>+</sup> has a calcd. D<sub>e</sub> of 23.7 kcal/mol, which is about 9  
kcal/mol lower than the <sup>2</sup>Σ<sup>+</sup> state of NiCO<sup>+</sup>. Unlike NiCO<sup>-</sup>, which is  
a stable mol., NiN<sub>2</sub><sup>-</sup> is predicted to be unbound with respect to Ni  
and N<sub>2</sub>. The dissoen. energy of the <sup>1</sup>A<sub>1</sub> state of Ni(N<sub>2</sub>)<sub>4</sub> is ~45  
kcal/mol, or about 1/3 the value of the <sup>1</sup>A<sub>1</sub> state of Ni(CO)<sub>4</sub>.

boys in. com ->  
do, meop. packet

(+6)

C.A. 1989, 110, N24



1989

Bauschlicher Ch. W., Jr.,  
Landhoff S. R. et al.

козб.

94. еоеи;  
Do, моп.  
раери

Chem. Phys. 1989, 129(3),  
431-7.

(сер. ● Ni N<sub>2</sub>; III)

NiN<sub>2</sub>

1991

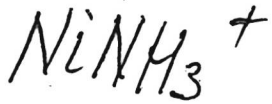
116: 28450u On the relative stability of side-on and end-on coordination of dinitrogen to nickel(0): "ab initio" calculations on the model compounds (dinitrogen)nickel and bis(phosphine=)(dinitrogen)nickel ([NiN<sub>2</sub>] and [Ni(PH<sub>3</sub>)<sub>2</sub>N<sub>2</sub>]). Ciullo, Giovanni; Rosi, Marzio; Sgamellotti, Antonio; Floriani, Carlo (Dip. Chim., Univ. Perugia, 06100 Perugia, Italy). *Chem. Phys. Lett.* 1991, 185(5-6), 522-8 (Eng). "Ab initio" calcns. have been performed on the systems NiN<sub>2</sub> and Ni(PH<sub>3</sub>)<sub>2</sub>N<sub>2</sub> to investigate the relative stability of end-on and side-on coordination of dinitrogen to Ni<sup>0</sup>. The results indicate that both the  $\pi$ -back-donation and the redn. in the  $\sigma$  repulsion are important factors in the description of the Ni-N<sub>2</sub> bonding. In NiN<sub>2</sub>, it is possible to reduce efficiently the repulsion by  $\pi$  polarization and the dinitrogen can come close enough to nickel to reach the best overlap in the  $\pi$  space for end-on coordination; this favors the end-on bonding with respect to the side-on one. When ligands are present on both sides of nickel, polarization is no longer possible and N<sub>2</sub> cannot come close enough to nickel to allow the best overlap; this disfavors mainly the end-on coordination where a shorter  $r(\text{Ni-N})$  is required, and explains the preference for side-on coordination in Ni(PH<sub>3</sub>)<sub>2</sub>N<sub>2</sub>.

meop. param

(\*)

C.A. 1992, 116, N 4

Ni(PH<sub>3</sub>)<sub>2</sub>N<sub>2</sub>



Langhoff S. R., 1991  
Bauschlicher Ch. W. Jr.,  
et al.

расчет D<sub>0</sub>, J. Phys. Chem. 1991,  
Серия Киприос 95(26), 10677-81.

(сер. ●  $\text{ScNH}_3^+$ ; III)

$N_2 N_2$

DM-36153

1991

Siegbahn E. M.

J. Chem. Phys. 1991, 95,  
N1, 364-372.

Электрон.

струк-  
тура

Side-on binding of the  
nitrogen molecule to first-  
-row transition metal  
dimers.

1994

$NiNH_3$

Terra Joice, Guenzburger  
Diana.

8th Int. Cong. Quantum  
Chem., June 18-23, Pra-  
gue, 1994: Book Abstrs.  
[Prague] 1994, c. 409.

(see  $FeNH_3$ ; iii)

$Ni^+(N_2O)$

1995

124: 127468t Comment on: "The binding energy of  $Ni^+ \cdot N_2O$ ". Heinemann, Christoph; Schwarz, Joseph; Schwarz, Helmut (Institut fuer Organische Chemie der Technischen Universitaet Berlin, Straesse des 17. Juni 135, D-10623 Berlin, Germany). *Chem. Phys. Lett.* 1995, 247(4,5,6), 611-13 (Eng). A polemic is given on the work of D. Bellert, et al., (ibid. 1995, 240, 495) concerning the bind energies of  $Ni^+(N_2O)$  and  $Ni^+(CO_2)$ . It is demonstrated that the electronic ground states of  $Ni(N_2O)^+$  and  $Ni(CO_2)^+$  should be linear based on electrostatic considerations and a comparison of their binding energies. The earlier conclusion of T-shaped ground state structures is repudiated.

Helmut  
Schwarz,  
Структура

(4)  $Ni^+(CO_2)$

C. A. 1996, 124, N10

NO + Ni

DM 38626

1996

creams Gary K. Ruschel, Thomas  
M Nemetz et al.

Br  
Mammye 384, N2-3, 101-14.  
g. Mol. Struct., 1996,

Matrix isolation and dense  
by functional studies  
of novel transition

metal complexes.  $\text{NO} + \text{Fe}, \text{Co}, \text{Ni},$   
 $\text{Cu}$  and  $\text{Zn}$  in argon matrices.

NiN<sub>6</sub>

1996

126: 80258y Bonding and decomposition of NiN. Sood, R. K. (Dept of Chemistry, University of Calabar, Calabar, Nigeria). *Global J. Pure Appl. Sci.* 1996, 2(2), 137-142 (Eng), Global Journal of Pure and Applied Sciences. The results of infra red spectra and DTA of NiN<sub>6</sub> are presented. On the basis of the infra red spectra, the Ni-N bond is proposed to be largely covalent. A tentative mechanism of decompn. of NiN<sub>6</sub> whereby an excited azide ion interacts with another azide ion in the immediate neighborhood is suggested.

(UK chemist)

Ni-N covalent

C.A. 1997, 126, N 6

NiNO

(Dm 39121)

1997

конспект  
записки

Julie L.C. Thomas, Charles W.  
Nauschlicher, Jr., et al,

NiNO<sup>+</sup>

теория

объяс

очень

сложн.

J. Phys Chem. 1997, A101  
8530-39.

Binding  
to first-

of Nitric Oxide  
Transition-Row

Metal Cations: An ab Initio  
Study

$Ni^{+} - NaO$

1998

Burda, Jaroslav V.,

составление  
очк. ф. со см.  
25+ смукр.  
смелубит,  
теор. paper

Chem. Phys. 1998, 230 (1),  
13-22

(см.  $Co^{+} - \bullet NaO$ ; III)

(NiN<sub>2</sub>)

1998

Andrews, Lister; et al;

crkmp, g. Phys. Chem. A1998,  
cmp. 102 (5), 2561-2571.

(Cell. CoN; III)

NiN<sub>2</sub>

1998

129: 46848t Infrared matrix isolation and DFT study of NiN<sub>2</sub>. Manceron, L.; Alikhani, M. E.; Joly, H. a. (Lab. Spectrochimie Moleculaire, CNRS URA, Univ. Pierre Mari Curie, 75252 Paris, Fr.): *Chem. Phys.* 1998, 228(1-3), 73-80 (Eng), Elsevier Science-B.V.. The IR spectrum of NiN<sub>2</sub> isolated in solid Ar at low temp. was restudied. New isotopic data on  $\nu_1$ ,  $\nu_2$ ,  $\nu_3$ ,  $\nu_1 + \nu_2$  and  $2\nu_1$ , were gathered in the near- and far IR regions. This information led to a reassignment of the metal-ligand vibrations, and, consequently, to a reassessment of the Ni-N bond force const. which is in good agreement with previous theor. prediction on NiN<sub>2</sub>. D. functional calcns. of the geometrical, electronic and vibrational properties of NiN<sub>2</sub> are also presented and compared to the exptl. values.

UK &  
manuscript  
Pi, empty.

C.A. 1998, 129, NY



(Om. 39886)

1999

см-ра,  
стабильн,  
колебам-  
частоты

Itai Panas et al.;

Phys. Lett. 1999,  
302, 431-436



NiNO  
(монокитрозил?)

Om- 39820

1999

(ск в матрице)

130: 344394u **Vibrational Spectra and Structures of Nickel Mononitrosyl Complexes. An IR Matrix Isolation and DFT Study.** Krim, Lahouari; Manceron, Laurent; Alikhani, M. Esmail (LADIR/ Spectrochimie Moleculaire, Universite Pierre et Marie Curie, 75252 Paris, Fr.). *J. Phys. Chem. A* 1999, 103(15), 2592-2598 (Eng), American Chemical Society. The IR spectra of nickel mononitrosyl complexes isolated in solid argon at low temp. have been reinvestigated. Concn. and photochem. studies show the existence of two isomeric forms of NiNO. Analyses of the  $^{58}\text{Ni}/^{60}\text{Ni}$ ,  $^{14}\text{N}/^{15}\text{N}$ , and  $^{16}\text{O}/^{18}\text{O}$  isotopic effects indicate that a first form has an end-on bent configuration, and a second form has a cyclic structure, in which the NO ligand is significantly more perturbed. D. functional calcns. of the geometrical, electronic and vibrational properties of these two forms are also presented and compared to the exptl. values. Isomerization energies have been estd.

C.A., 1999, 130, N25

B<sub>2</sub>NiNN

(DM 40388)

2000

Mohua Chen, Mingbei Zhou  
et al.,

J. Phys. Chem. 2000, A104,  
8627-31.

Matrix-Isolated  
Spectroscopic



tion FTIR  
and DFT

Studies on the XMNN (X =  
Cl, Br, N=Cu, Ni) Molecules.

Cl Ni NN

(OM 40388)

2000

Mohua Chen, Mingpei Zhou  
et al.,

J. Phys. Chem. 2000, A104,  
8627-31.

Matrix- Isolated  ion FTIR  
spectroscopic and DFT

studies of the XMNN ( $X = \text{Cl}, \text{Br},$   
 $\text{N} = \text{Cu}, \text{Ni}$ ) Molecules.

F: NiNO+

P: 3

Qm. 40601

2000

132:285593 Reactions of Laser-Ablated Fe, Co, and Ni with NO: Infrared Spectra and Density Functional Calculations of  $MNO^+$  and  $M(NO)_x$  ( $M = Fe, Co, x = 1-3; M = Ni, x = 1, 2$ ), and  $M(NO)_x^-$  ( $M = Co, Ni; x = 1, 2$ ). Zhou, Mingfei; Andrews, Lester Department of Chemistry, University of Virginia Charlottesville, VA 22904-4319, USA J. Phys. Chem. A, 104(17), 3915-3925 (English) 2000 -

C.A. 2000

~~... Related Properties~~

Laser-ablated Fe, Co, and Ni atoms, cations, and electrons were reacted with NO mols. during condensation in excess Ne and Ar. The end-on bonded Fe(NO)<sub>1-3</sub>, Co(NO)<sub>1-3</sub>, and Ni(NO)<sub>1-2</sub> nitrosyls and side-bonded Fe-(.eta.2-NO), Co-(.eta.2-NO), and Ni-(.eta.2-NO) species are formed during sample deposition or on annealing. The FeNO<sup>+</sup>, CoNO<sup>+</sup>, and NiNO<sup>+</sup> mononitrosyl cations are also produced via metal cation reactions with NO. Evidence is also presented for the Ni(NO)<sub>1,2</sub>- and Co(NO)<sub>1,2</sub>- anions. The product absorptions are identified by isotopic substitution (<sup>15</sup>N<sup>16</sup>O, <sup>15</sup>N<sup>18</sup>O, and mixts.), electron trapping with added CCl<sub>4</sub>, and d. functional calcns. of isotopic frequencies. This work provides the 1st vibrational spectroscopic characterization of Fe, Co, and Ni nitrosyl cations and anions.

Ni ( $\eta^1$ -NO)<sub>2</sub>

DM. 41 021

2001

135: 295471j Infrared Spectra and Structures of Nickel and Palladium Dinitrosyl Complexes Isolated in Solid Argon. Alikhani, Mohammad Esmail; Krim, Lahouari; Manceron, Laurent (LADIR/Spectrochimie Moléculaire, UMR 7075 CNRS Université Pierre et Marie Curie, 75252 Paris, Fr.). *J. Phys. Chem. A* 2001, 105(33), 7817-7822 (Eng), American Chemical Society. The IR spectrum of Ni and Pd dinitrosyls formed by reaction of ground-state Ni or Pd atoms with NO during condensation in solid Ar was restudied, and the energetic, structural, and spectroscopic properties of these compds. were calcd. using d. functional theory. The Pd( $\eta^1$ -NO)<sub>2</sub> mol., already characterized in reactions of laser-ablated Pd, is the only product formed in the reaction between one Pd atom and two nitric oxide mols. With Ni; in contrast, two different isomeric forms are evidenced; Ni ( $\eta^1$ -NO)<sub>2</sub> and Ni ( $\eta^2$ -NO)<sub>2</sub>, differing by the metal coordination modes and electronic structures. For the M( $\eta^1$ -NO)<sub>2</sub>, M = Ni and Pd, species, four addnl. fundamentals

UK B  
MAMPUSE,  
CMP-pa, Vi

C. A. 2001, 135, N20

were measured in the mid- and far-IR regions for various isotopic species. If the exptl. results only show that the complex is centrosym., the existence of two IR-active vibrations in the far-IR region and the data for the asym. isotopomers are consistent with a linear structure predicted by DFT calcns. For the  $\text{Ni}(\eta^2\text{-NO})_2 \rightarrow \text{Ni}(\eta^1\text{-NO})_2$  conversion, ests. of the transition state energetic and structural properties are consistent with the exptl. data. The changes in electronic structure and the reinforcement of the coordination bond when going from mono- to dinitrosyls are discussed in light of the results of a topol. anal. of the bonding.

